



# БИООРГАНИЧЕСКАЯ ХИМИЯ

том 15 \* № 9 \* 1989

УДК 547.814 : 577.161.3

## СИНТЕЗ И АНТИОКИСЛИТЕЛЬНАЯ АКТИВНОСТЬ СТРУКТУРНЫХ АНАЛОГОВ ВИТАМИНА Е

Захарова Е. И., Шуаипов К. А.-В., Чудинова В. В.,  
Алексеев С. М., Евстигнеева Р. П.

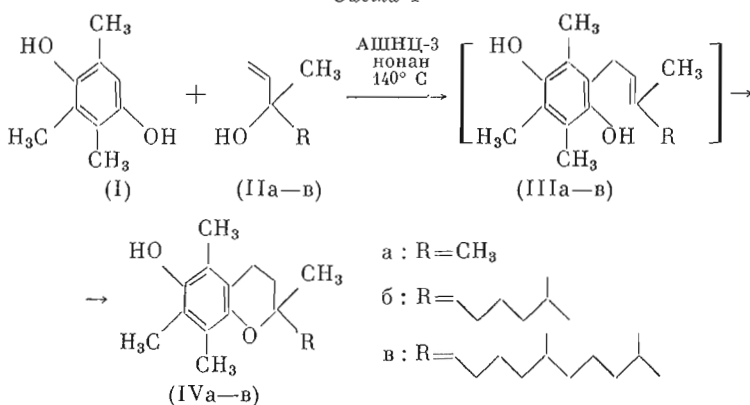
Московский институт тонкой химической технологии  
им. М. В. Ломоносова

Осуществлен синтез аналогов  $\alpha$ -токоферола, различающихся структурой боковой изопренOIDной цепи и хроманового ядра. На моделях индуцированного и неиндуцированного жидкофазного окисления этиллипоноата в интервале концентраций  $\alpha$ -токоферола и синтезированных соединений от  $2,3 \cdot 10^{-3}$  до  $1,2 \cdot 10^{-2}$  М изучено влияние структуры хроманов на динамику накопления продуктов окисления.

$\alpha$ -Токоферол — основной липофильный антиоксидант биологических мембран млекопитающих [1]. Однако известно, что при высоких концентрациях в экспериментах *in vitro* он может проявлять прооксидантный эффект, т. е. ускорять процессы индуцированного окисления ненасыщенных жирных кислот и их эфиров [2]. Предполагают, что это обусловлено конкурентными процессами взаимодействия ингибитора со свободнорадикальными продуктами перекисного окисления липидов (ПОЛ) и инициированием цепных радикальных реакций хроманоксильными радикалами  $\alpha$ -токоферола [3]. Для выяснения зависимости анти- и прооксидантной активности от структуры молекулы хромана мы синтезировали ряд аналогов  $\alpha$ -токоферола, различающихся структурой боковой изопренOIDной цепи и хроманового ядра.

Реакцией Фриделя-Крафтса 2,3,5-триметилгидрохинона (I) с изопреноидными аллильными спиртами: диметилвинилкарбинолом (IIa), дигидролиналоолом (IIb) и 3,7,11-триметилдодец-1-ен-3-олом (IIc), в условиях гетерогенного катализа в присутствии алюмосиликата АШНЦ-3 [4] получены 2,2,5,7,8-пентаметилхроман-6-ол (хроман C<sub>1</sub>) (IVa) [5], 2,5,7,8-тетраметил-2-(4-метилпентил)хроман-6-ол (хроман C<sub>6</sub>) (IVb) и 2,5,7,8-тетраметил-2-(4,8-диметилнонил)хроман-6-ол (хроман C<sub>11</sub>) (IVc) (схема 1).

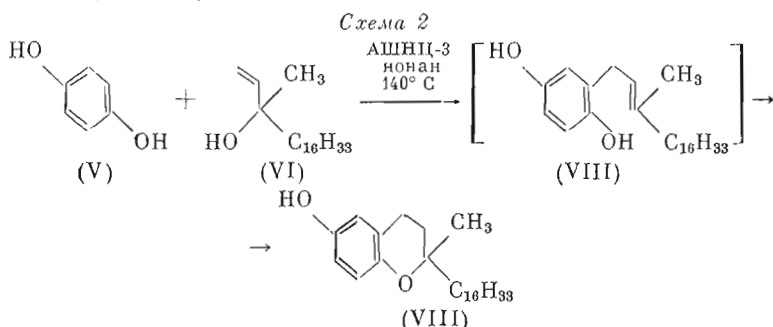
Схема 1



Образование хроманов (IVa—v) протекает, как и в случае  $\alpha$ -токоферола [4], через промежуточные соединения (IIIa—v), скорость циклизации которых существенно зависит от длины, степени разветвления и ненасыщенности алифатической цепи. Установлено, что замыкание кольца в соединениях (IIIa—v) требует более жестких условий, чем в синтезе

$\alpha$ -токоферола, что объясняется их повышенной стабильностью. Структуры и индивидуальность хроманов (IVa—в) подтверждены данными ИК-, УФ-,  $^1\text{H}$ -ЯМР-спектроскопии, ТСХ, ВЭЖХ и элементным анализом (см. табл. 1 и 2).

По аналогичной схеме проведено алкилирование гидрохинона (V) изо-фитолом (VI) (схема 2).

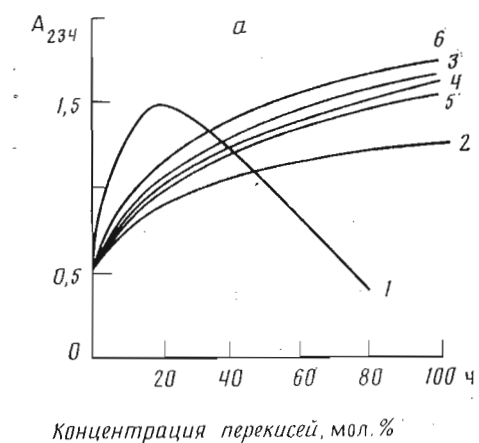


Получен 2-метил-2-(4,8,12-триметилтридецил)хроман-6-ол (токол) (VIII), строение и состав которого подтверждены данными ИК-, УФ-,  $^1\text{H}$ -ЯМР-спектроскопии, ТСХ, ВЭЖХ и элементным анализом (см. табл. 1 и 2).

Анти- и прооксидантная активность синтезированных соединений (IVa—в), (VIII) и  $\alpha$ -токоферола были исследованы нами на моделях индуцированного и неиндуцированного жидкофазного автоокисления этиллиноволеата. Использовали две концентрации хроманов:  $2,3 \cdot 10^{-3}$  и  $1,2 \cdot 10^{-2}$  М. Окисление проводили в объеме 3 мл этиллиноволеата при постоян-

Таблица 1  
Спектральные характеристики аналогов витамина Е

Соединение	УФ-спектр (метанол), $\lambda_{\text{max}}$ , нм ( $\epsilon$ )	ИК-спектр, $\nu$ , см <sup>-1</sup>	$^1\text{H}$ -ЯМР-спектр (CDCl <sub>3</sub> ) $\delta$ , м. д., $J$ , Гц
Хроман C <sub>1</sub> (IVa)	293 (33 340)	3400, 2900, 1460, 1375, 1260, 1070	1,32 (6H, с, 2,2-CH <sub>3</sub> ), 1,80 (2H, кв, 7,3-H), 2,15 (6H, с, 5,7-CH <sub>3</sub> ), 2,20 (3H, с, 8-CH <sub>3</sub> ), 2,55 (2H, т, 7,4-H), 4,30 (1H, с, OH)
Хроман C <sub>6</sub> (IVб)	292 (31 987)	3400, 2900, 1450, 1360, 1260, 1080	0,87 (3H, с, 5'-H), 0,92 (3H, с, 4-CH <sub>3</sub> ), 1,15 (6H, м, 1',2',3'-H), 1,25 (3H, с, 2-CH <sub>3</sub> ), 1,80 (2H, кв, 7,3-H), 2,00 (3H, с, 5-CH <sub>3</sub> ), 2,02 (3H, с, 7-CH <sub>3</sub> ), 2,05 (3H, с, 8-CH <sub>3</sub> ), 2,60 (2H, т, 7,4-H), 4,10 (1H, с, OH)
Хроман C <sub>11</sub> (IVв)	292 (31 356)	3300, 2900, 1460, 1375, 1260, 1090	0,85 (12H, м, 2-CH <sub>3</sub> , 4',8'-CH <sub>3</sub> , 9'-H), 1,22 (12H, м, 1',2',3',5',6',7'-H), 1,78 (2H, кв, 7,3-H), 2,12 (6H, с, 5,7-CH <sub>3</sub> ), 2,18 (3H, с, 8-CH <sub>3</sub> ), 2,60 (2H, т, 7,4-H), 4,20 (1H, с, OH)
Токол (VIII)	297 (29 447)	3400, 2900, 1600, 1460, 1375, 1260, 1090, 900, 850, 800	0,85 (15H, м, 2-CH <sub>3</sub> , 4',8',12'-CH <sub>3</sub> , 13'-H), 1,20 (18H, м, 1',2',3',5',6',7',8',10',11'-H), 1,76 (2H, кв, 7,3-H), 2,70 (2H, т, 7,4-H), 4,65 (1H, с, OH), 6,60 (3H, м, H-ap.)



Концентрация перекисей, мол. %

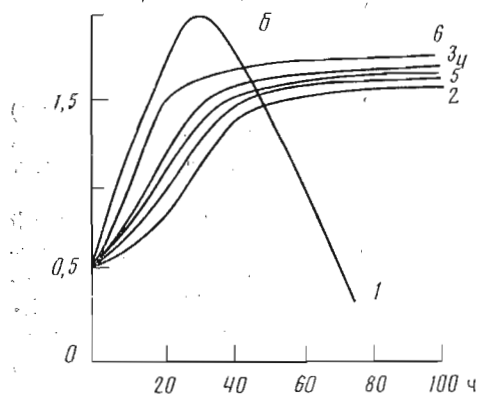
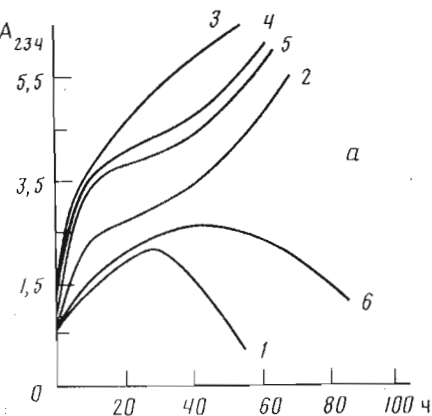


Рис. 1. Динамика индуцированного автоокисления этиллиноволеата (1 — контроль) по накоплению диеновых конъюгатов (а) и перекисному числу (б) в присутствии  $\alpha$ -токоферола (2), хромана C<sub>1</sub> (IVa) (3), хромана C<sub>6</sub> (IVб) (4), хромана C<sub>11</sub> (IVв) (5) и токола (VIII) (6) в концентрации  $2,3 \cdot 10^{-3}$  М



Концентрация перекисей, мол. %

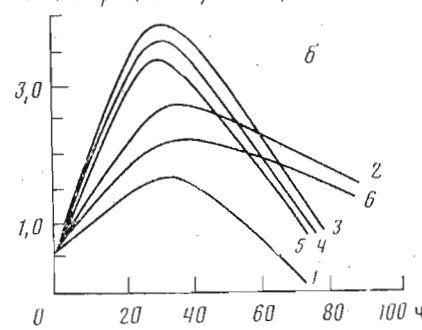


Рис. 2. Динамика индуцированного автоокисления этиллиноволеата (1 — контроль) по накоплению диеновых конъюгатов (а) и перекисному числу (б) в присутствии  $\alpha$ -токоферола (2), хромана C<sub>1</sub> (IVa) (3), хромана C<sub>6</sub> (IVб) (4), хромана C<sub>11</sub> (IVв) (5) и токола (VIII) (6) в концентрации  $1,2 \cdot 10^{-2}$  М

ной скорости барботирования воздуха ( $\sim 100$  мл/мин) в темноте при  $50^\circ\text{C}$ . Динамику процесса автоокисления контролировали с помощью УФ-спектроскопии по образованию конъюгированной диеновой системы ( $\lambda_{\max}$  234 нм,  $\epsilon$  28 000), а также по возрастанию значения перекисного числа, характеризующего общее количество гидроперекисей, образующихся в реакционной смеси.

Таблица 2

**Физико-химические свойства аналогов витамина Е**

Соединение	ТСХ $R_f$ , (B)	ВЭЖХ (метанол), $t_{вых}$ , мин	Найдено, %		Эмпириче- ская формула	Вычислено, % C H	
			C	H		C	H
Хроман C <sub>1</sub> (IVa)	0,30	1,7	76,30	9,12	C <sub>14</sub> H <sub>20</sub> O <sub>2</sub>	76,32	9,15
Хроман C <sub>6</sub> (IVб)	0,28	2,2	78,57	10,40	C <sub>19</sub> H <sub>30</sub> O <sub>2</sub>	78,58	10,41
Хроман C <sub>11</sub> (IVв)	0,35	2,7	79,94	11,15	C <sub>24</sub> H <sub>40</sub> O <sub>2</sub>	79,94	11,18
Токол (VIII)	0,24	3,3	80,32	11,40	C <sub>26</sub> H <sub>44</sub> O <sub>2</sub>	80,35	11,41

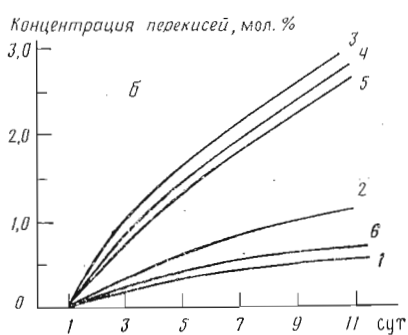
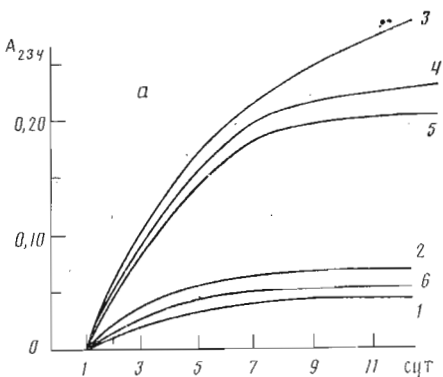


Рис. 3. Динамика неиндуцированного автоокисления этиллиноволеата (1 — контроль) по накоплению диеновых конъюгатов (а) и перекисному числу (б) в присутствии  $\alpha$ -токоферола (2), хромана C<sub>1</sub> (IVa) (3), хромана C<sub>6</sub> (IVb) (4), хромана C<sub>11</sub> (IVb) (5) и токола (VIII) (6) в концентрации  $2,3 \cdot 10^{-3}$  М

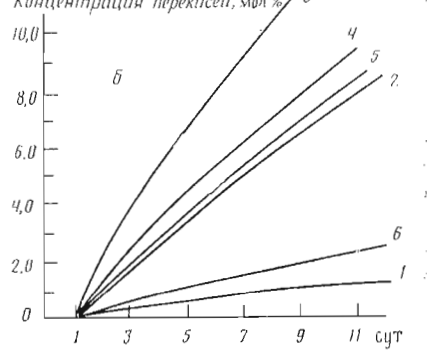
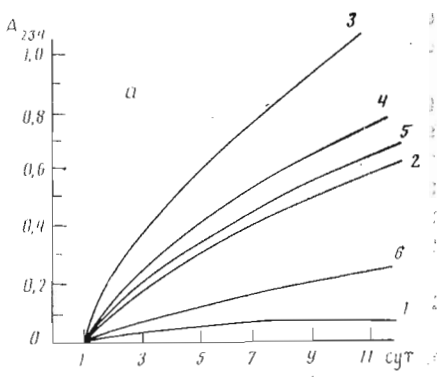


Рис. 4. Динамика неиндуцированного автоокисления этиллиноволеата (1 — контроль) по накоплению диеновых конъюгатов (а) и перекисному числу (б) в присутствии  $\alpha$ -токоферола (2), хромана C<sub>1</sub> (IVa) (3), хромана C<sub>6</sub> (IVb) (4), хромана C<sub>11</sub> (IVb) (5) и токола (VIII) (6) в концентрации  $1,2 \cdot 10^{-2}$  М

В экспериментах по индуцированному окислению этиллиноволеата (содержание гидроперекисей в исходном этиллиноволеате составляло 0,5%) исследована эффективность ингибирования ПОЛ  $\alpha$ -токоферолом и его аналогами (IVa—в) и (VIII) при концентрации хроманов  $2,3 \cdot 10^{-3}$  М, а также изучены прооксидантные свойства вышеуказанных соединений при их содержании  $1,2 \cdot 10^{-2}$  М. Оказалось, что  $\alpha$ -токоферол и его аналоги (IVa—в) и (VIII) при концентрации  $2,3 \cdot 10^{-3}$  М тормозят процесс перекисного окисления, но в различной степени (рис. 1). Высокий первоначальный уровень гидроперекисей в исходном этиллиноволеате (0,5%) приводит к быстрому накоплению продуктов окисления без индукционного периода, что хорошо согласуется с данными [3]. Наиболее эффективный антиоксидант в этом случае —  $\alpha$ -токоферол, а активность аналогов падает по мере снижения длины изопренойдной цепи и уменьшения количества метильных групп в хромановом ядре. Наблюдаемое уменьшение антиокислительной активности можно объяснить повышением в указанном ряду реакционноспособности хроманоксильного радикала, а также снижением стабильности образующихся молекулярных комплексов между хроманом и эфиром жирной кислоты. В присутствии  $\alpha$ -токоферола и хроманов (IVa—в) и (VIII) в концентрации  $1,2 \cdot 10^{-2}$  М процесс окисления этиллиноволеата ускоряется, причем  $\alpha$ -токоферол в меньшей степени инициирует окисление, чем соединения (IVa—в) и (VIII) (рис. 2). В этом опыте в динамике накопления гидроперекисей наблюдается отчетливый максимум, соответствующий максимуму содержания гидроперекисей в контрольном образце (этиллиноволеат). Сравнение формы кинетических кривых накопления диеновых конъюгатов и перекисей позволяет предположить, что метильные группы в хромановом кольце оказывают определенное стабилизирующее влияние на структуру диенового конъюгата,

обусловливая качественный состав первичных и вторичных продуктов окисления.

В случае неиндуцированного жидкокристаллического окисления этиллиноволеата (содержание гидроперекисей менее 0,001 %) в присутствии  $\alpha$ -токоферола и его аналогов (IVa—в) и (VIII) в интервале концентраций  $2,3 \cdot 10^{-3}$ — $1,2 \cdot 10^{-2}$  М все исследованные соединения проявляли прооксидантный эффект, причем наилучшие прооксидантные свойства наблюдались у хромана C<sub>1</sub> (IVa), а наиболее слабые — у токола (VIII) (рис. 3 и 4). Следует также отметить, что на протяжении всего периода процесса неиндуцированного окисления кинетика накопления перекисей имела неэкстремальный характер.

Для интерпретации полученных экспериментальных данных в настоящее время продолжается работа по идентификации продуктов окислительной трансформации этиллиноволеата,  $\alpha$ -токоферола и его аналогов.

### Экспериментальная часть

Хроматографическую очистку продуктов реакции проводили на колонке с силикагелем L 40/100 мкм (ЧССР) в следующих системах растворителей: *n*-гексан — ацетон, 20 : 1 (А) и 10 : 1 (Б). Для ТСХ полученных соединений на пластинках Silufol UV-254 (ЧССР) использовали систему *n*-гексан — ацетон, 5 : 1 (В). ИК-спектры сняты на спектрофотометре Shimadzu-IR 435 (Япония) в тонкой пленке или пасте с вазелиновым маслом, УФ-спектры — на спектрофотометре Shimadzu UV 240 (Япония) в области 190—350 нм в метаноле. Спектры <sup>1</sup>H-ЯМР записаны на спектрометре Brucker WM-250 (ФРГ) на рабочей частоте 250 МГц в дейтерохлорформе; внутренний стандарт — гексаметилдисилазан (ГМДС). ВЭЖХ-анализ проводили на жидкостном хроматографе Kovo (ЧССР), снабженном УФ-детектором LCD 2563 (ГДР, 290 нм), рефрактометрическим детектором RIDK 101 (Kovo, ЧССР), инжектором Rheodyne 7125 (США, 20 мкл) и колонкой Ultrasphere ODS ( $4 \times 250$  мм, 5 мкм) (Altex, США). Режим анализа изократический. Элюент — метанол, 1 мл/мин, 20° С. Содержание гидроперекисей в этиллиноволеате определяли иодометрическим титрованием [6].

В работе использовали  $\alpha$ -токоферол, полученный по методике [4] с содержанием 99,5% (по данным ГЖХ), и этиллиноволеат, синтезированный этерификацией линоловой кислоты этиловым спиртом, с содержанием 95,0% (по данным ГЖХ).

*2,2,5,7,8-Пентаметилхроман-6-ол (хроман C<sub>1</sub>) (IVa).* К кипящей смеси 3,80 г (25 ммоль) 2,3,5-триметилгидрохинона (I), 7,80 г алюмосиликата АШНЦ-3 в 100 мл нонана прибавляли в течение 30 мин раствор 2,45 г (25 ммоль) диметилвинилкарбинола (IIa) в 10 мл нонана в условиях непрерывной отгонки воды в токе азота. Реакционную смесь выдерживали при 140° С 1 ч, отгоняли нонан, охлаждали до 50° С и добавляли 50 мл этанола. Катализатор отделяли, фильтрат промывали гексаном и спирт отгоняли в вакууме (10—15 мм рт. ст.). Остаток перекристаллизовывали из 80% этанола и получали 3,95 г (72,0%) хромана C<sub>1</sub> (IVa) (см. табл. 1 и 2).

*2,5,7,8-Тетраметил-2-(4-метилпентил)хроман-6-ол (хроман C<sub>6</sub>) (IVб).* К кипящей смеси 3,80 г (25 ммоль) 2,3,5-триметилгидрохинона (I), 7,80 г алюмосиликата АШНЦ-3 в 100 мл нонана в течение 30 мин прибавляли раствор 3,90 г (25 ммоль) дигидролиналоола (IIб) в 10 мл нонана в условиях непрерывной отгонки воды в атмосфере азота. Реакционную смесь выдерживали 2 ч при 140° С, катализатор отфильтровывали, а растворитель упаривали в вакууме (10—15 мм рт. ст.). Остаток очищали колоночной хроматографией на силикагеле L 40/100 мкм, элюируя неполярные примеси системой А, а хроман C<sub>6</sub> (IVб) — системой Б. Получали 5,0 г (70,0%) хромана C<sub>6</sub> (IVб) (см. табл. 1 и 2).

*2,5,7,8-Тетраметил-2-(4,8-диметилнонил)хроман-6-ол (хроман C<sub>11</sub>) (IVв)* получали как описано для соединения (IVб), исходя из 3,80 г (25 ммоль) (I) и 5,64 г (25 ммоль) 3,7,11-триметилдодец-4-ен-3-ола (IIв)

в присутствии 6,0 г алюмосиликата АШНЦ-3 в течение 1 ч. Выход хромана  $C_{11}$  (IVв) 6,50 г (72,2%) (см. табл. 1 и 2).

2-Метил-2-(4,8,12-триметилтридецил)хроман-6-ол (токол) (VIII) получали как описано для соединения (IVб), исходя из 3,80 г (25 ммоль) (I) и 7,40 г (25 ммоль) изофитола (VI) в присутствии 8,0 г алюмосиликата АШНЦ-3 в течение 3 ч. Выход токола (VIII) 5,82 г (60,0%) (см. табл. 1 и 2).

Окисление этиллиноволеата в присутствии  $\alpha$ -токоферола, хромана  $C_1$  (IVа), хромана  $C_6$  (IVб), хромана  $C_{11}$  (IVв) и токола (VIII) проводили в 10 пробирках емкостью 20 мл, каждая из которых содержала по 3 мл этиллиноволеата, а также один из указанных хроманов в двух концентрациях:  $2,3 \cdot 10^{-3}$  или  $1,2 \cdot 10^{-2}$  М. Контролем служила пробирка, содержащая 3 мл этиллиноволеата без хроманов. Окисление проводили при постоянной скорости барботирования кислорода воздуха ( $\sim 100$  мл/мин) при  $50^\circ\text{C}$  в темноте. В течение 4–10 сут периодически контролировали содержание в реакционных смесях и этиллиноволеате (контроль) перекисей (иодометрическое титрование) и диеновых конъюгатов (УФ-спектроскопия в метаноле,  $\lambda_{\text{max}} 234$  нм).

#### СПИСОК ЛИТЕРАТУРЫ

1. Burton G. W., Ingold K. U. // Acc. Chem. Res. 1986. V. 19. № 7. P. 194–201.
2. Koskas J. P., Cillard J., Cillard P. // J. Am. Oil Chem. Soc. 1984. V. 61. № 9. P. 1466–1469.
3. Terao J., Matsushita S. // Lipids. 1986. V. 21. № 4. P. 255–260.
4. Щеголев А. А., Сарычева И. К., Евстигнеева Р. П. Синтез  $\alpha$ -токоферола в присутствии цеолитов содержащих алюмосиликатов. М., 1982. 5 с.—Деп. в ВИНИТИ 7.09.82, № 4779–82.
5. Щеголев А. А., Сарычева И. К., Евстигнеева Р. П. Синтез структурных аналогов  $\alpha$ -токоферола. М., 1982. 5 с.—Деп. в ВИНИТИ 7.09.82, № 4780–82.
6. Беззубов Л. П. Химия жиров. М. Пищепромиздат, 1962. С. 250–251.

Поступила в редакцию  
2.I.1988

После доработки  
14.III.1989

#### SYNTHESIS AND ANTIOXYDANT ACTIVITY OF A STRUCTURAL ANALOGUE OF VITAMIN E

ZACHAROVA E. I., SHUAYIPOV K. A.-V., CHUDINOVA V. V.,  
ALEXEEV S. M., EVSTIGNEEVA R. P.

M. V. Lomonosov Institute of Fine Chemical Technology, Moscow

Analogues of  $\alpha$ -tocopherol with modified structure of side isoprenoid chain and chroman nucleus have been synthesised. The influence of chromanol structure on the dynamic of oxidation products formation have been investigated on models of induced and noninduced bulk-phase peroxidation of ethyl linoleate in presence of  $2,3 \cdot 10^{-3}$ – $1,2 \cdot 10^{-2}$  М  $\alpha$ -tocopherol and the synthesised compounds.